

K2-SRC

P

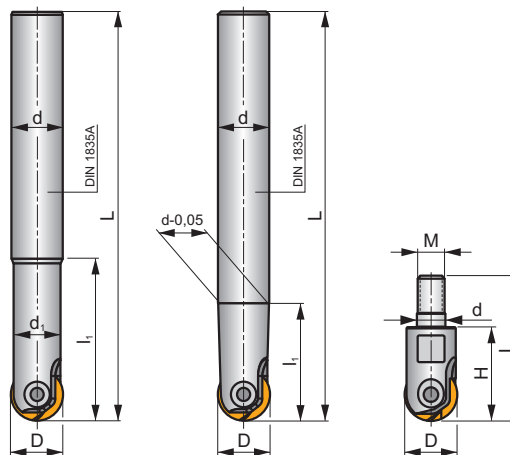
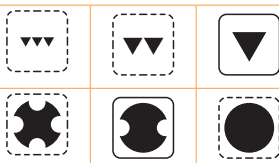
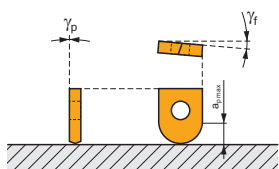
K

H

S



a_{pmax} 0,6 - 3,2 mm



h_m 0,07 - 0,14



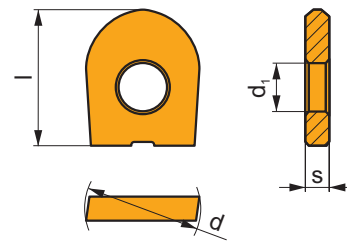
ISO	D	L	d	d ₁	l ₁	H	M					kg		
08K2R025A10-SRC08-A	8	110	10	7,5	25	-	-	2	-	56000	-	0,08	GI030	C0530
08K2R050A12-SRC08-A	8	140	12	-	13,5	-	-	2	-	56000	-	0,11	GI030	C0530
10K2R030A12-SRC10-A	10	130	12	9,0	30	-	-	2	-	42000	-	0,11	GI031	C0531
10K2R060A16-SRC10-A	10	150	16	-	19,5	-	-	2	-	42000	-	0,18	GI031	C0531
12K2R030A12-SRC12-A	12	130	12	10,5	30	-	-	2	-	35000	-	0,11	GI032	C0532
16K2R035A16-SRC16-A	16	140	16	14,0	35	-	-	2	-	22000	-	0,23	GI033	C0533
20K2R045A20-SRC20-A	20	160	20	18,0	45	-	-	2	-	16000	-	0,40	GI034	C0534
25K2R045A25-SRC25-A	25	160	25	22,4	45	-	-	2	-	10000	-	0,59	GI035	C0535
32K2R060A32-SRC32-A	32	180	32	28,6	60	-	-	2	-	6000	-	1,10	GI036	C0536
12K2R060A16-SRC12-A	12	160	16	-	24,5	-	-	2	-	35000	-	0,14	GI032	C0532
16K2R065A20-SRC16-A	16	175	20	-	31,5	-	-	2	-	22000	-	0,41	GI033	C0533
20K2R080A25-SRC20-A	20	190	25	-	33,5	-	-	2	-	16000	-	0,66	GI034	C0534
08K2R30M06-SRC08-A	8	45	6,5	-	-	30	M6	2	-	-	-	0,02	GI123	C0530
10K2R30M06-SRC10-A	10	45	6,5	-	-	30	M6	2	-	-	-	0,03	GI124	C0531
12K2R30M06-SRC12-A	12	45	6,5	-	-	30	M6	2	-	-	-	0,16	GI125	C0530
12K2R30M08-SRC12-A	12	48	8,5	-	-	30	M8	2	-	-	-	0,04	GI125	C0532
16K2R35M08-SRC16-A	16	53	8,5	-	-	35	M8	2	-	-	-	0,05	GI033	C0533
20K2R35M10-SRC20-A	20	54	10,5	-	-	35	M10	2	-	-	-	0,08	GI034	C0534

GI030	RC 08	RC 08-F	LC 08-KP	LC 08-KPF	-	-	-
GI031	RC 10	RC 10-F	LC 10-KP	LC 10-KPF	-	-	-
GI032	RC 12	RC 12-F	-	-	LC 12..-CH	LC 12..-RE	-
GI033	RC 16	RC 16-F	-	-	-	-	-
GI034	RC 20	RC 20-F	-	-	-	-	-
GI035	RC 25	-	-	-	-	-	-
GI036	RC 32	-	-	-	-	-	-
GI123	RC 08	RC 08-F	-	-	-	-	-
GI124	RC 10	RC 10-F	-	-	-	-	-
GI125	RC 12	RC 12-F	-	-	-	-	-

CO530	CS 3007-T08P	1,2	M 3	7	-	-	Flag T08P
CO531	CS 4008-T15P	3,0	M 4	8	D-T08P/T15P	FG-15	-
CO532	CS 5009-T20P	5,0	M 5	9	-	-	SDR T20P
CO533	CS 5013-T20P	5,0	M 5	13	-	-	SDR T20P
CO534	CS 5015-T20P	5,0	M 5	15	-	-	SDR T20P
CO535	CS 6020-T20P	7,5	M 6	20	-	-	SDR T20P
CO536	CS 8025-T30P	15	M 8	25	-	-	SDR T30P

RC

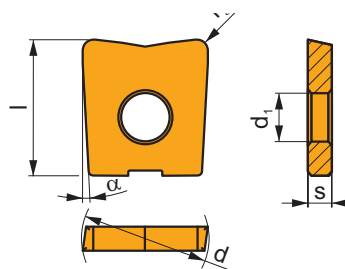
	d	d ₁	l	s
08	8,000	3,00	9,50	2,00
10	10,000	4,00	11,50	2,50
12	12,000	5,00	12,00	2,50
16	16,000	5,00	14,00	3,00
20	20,000	5,00	16,00	3,00
25	25,000	6,00	21,50	4,00
32	32,000	8,00	25,80	5,00



		ISO		P	M	K	N	S	H			r _ε	f _{min}	f _{max}	a _{p min}	a _{p max}		
 		RC 08	M4310	█	█	█	█	█	█	█	-	-	0,10	0,30	0,3	0,8		
			M8310	█	█	█	█	█	█	█	█	-	-	0,10	0,30	0,3	0,8	
			M8330	█	█	█	█	█	█	█	█	-	-	0,10	0,30	0,3	0,8	
		RC 10	M4310	█	█	█	█	█	█	█	█	█	-	-	0,10	0,33	0,3	1,0
			M8310	█	█	█	█	█	█	█	█	█	-	-	0,10	0,33	0,3	1,0
			M8330	█	█	█	█	█	█	█	█	█	-	-	0,10	0,33	0,3	1,0
		RC 12	M4310	█	█	█	█	█	█	█	█	█	-	-	0,10	0,35	0,4	1,2
			M8310	█	█	█	█	█	█	█	█	█	-	-	0,10	0,35	0,4	1,2
			M8330	█	█	█	█	█	█	█	█	█	-	-	0,10	0,35	0,4	1,2
RC 16	M4310	█	█	█	█	█	█	█	█	█	-	-	0,10	0,40	0,5	1,6		
	M8310	█	█	█	█	█	█	█	█	█	-	-	0,10	0,40	0,5	1,6		
	M8330	█	█	█	█	█	█	█	█	█	-	-	0,10	0,40	0,5	1,6		
RC 20	M4310	█	█	█	█	█	█	█	█	█	-	-	0,10	0,50	0,6	2,0		
	M8310	█	█	█	█	█	█	█	█	█	-	-	0,10	0,50	0,6	2,0		
	M8330	█	█	█	█	█	█	█	█	█	-	-	0,10	0,50	0,6	2,0		
RC 25	M4310	█	█	█	█	█	█	█	█	█	-	-	0,10	0,55	0,6	2,5		
	M8310	█	█	█	█	█	█	█	█	█	-	-	0,10	0,55	0,6	2,5		
	M8330	█	█	█	█	█	█	█	█	█	-	-	0,10	0,55	0,6	2,5		
RC 32	M4310	█	█	█	█	█	█	█	█	█	-	-	0,10	0,60	0,6	3,2		
	M8330	█	█	█	█	█	█	█	█	█	-	-	0,10	0,60	0,6	3,2		
 		RC 08-F	M4310	█	█	█	█	█	█	█	-	-	0,05	0,30	0,3	0,8		
		RC 10-F	M4310	█	█	█	█	█	█	█	█	-	-	0,05	0,33	0,3	1,0	
		RC 12-F	M4310	█	█	█	█	█	█	█	█	-	-	0,05	0,35	0,4	1,2	
		RC 16-F	M4310	█	█	█	█	█	█	█	█	█	-	-	0,05	0,40	0,5	1,6
			M8330	█	█	█	█	█	█	█	█	█	-	-	0,05	0,40	0,5	1,6
		RC 20-F	M4310	█	█	█	█	█	█	█	█	█	-	-	0,05	0,50	0,5	2,0
			M8330	█	█	█	█	█	█	█	█	█	-	-	0,05	0,50	0,5	2,0

LC

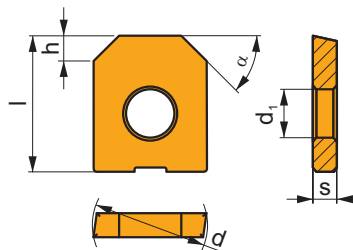
	α°	d	d ₁	l	s
08	3°	8,000	3,00	9,50	2,00
10	3°	10,000	4,00	11,50	2,50



		ISO		P	M	K	N	S	H			r _c	f _{min}	f _{max}	a _{p min}	a _{p max}
		LC 0806-KP	M4310	☑		■			■	●	-	0,6	0,08	0,20	0,1	0,6
			M8310	■		■			■	●	-	0,6	0,08	0,20	0,1	0,6
			M8330	■		■			☑	●	-	0,6	0,08	0,20	0,1	0,6
		LC 0810-KP	M4310	☑		■			■	●	-	1,0	0,08	0,20	0,1	1,0
			M8310	■		■			■	●	-	1,0	0,08	0,20	0,1	1,0
			M8330	■		■			☑	●	-	0,8	0,08	0,25	0,1	0,8
		LC 1008-KP	M4310	☑		■			■	●	-	0,8	0,08	0,25	0,1	0,8
			M8310	■		■			■	●	-	0,8	0,08	0,25	0,1	0,8
			M8330	■		■			☑	●	-	0,8	0,08	0,25	0,1	0,8
		LC 1010-KP	M4310	☑		■			■	●	-	1,0	0,08	0,25	0,1	1,0
			M8310	■		■			■	●	-	1,0	0,08	0,25	0,1	1,0
			M8330	■		■			☑	●	-	1,0	0,08	0,25	0,1	1,0
		LC 0806-KPF	M4310	☑		■			■	●	-	0,6	0,05	0,15	0,1	0,6
		LC 1008-KPF	M4310	☑		■			■	●	-	0,8	0,05	0,20	0,1	0,8

LC 12-CH

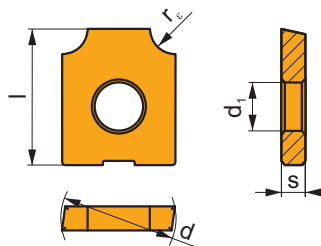
	α°	d	d_1	h	l	s
1245	45°	12,000	5,00	3,0	14,00	2,50



		ISO		P	M	K	N	S	H			r_ϵ	f_{min}	f_{max}	$a_{p min}$	$a_{p max}$
	LC 1245-CH	M4310	<input checked="" type="checkbox"/>		<input checked="" type="checkbox"/>				<input checked="" type="checkbox"/>		-	-	0,08	0,25	0,1	2,0

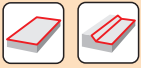
LC 12-RE

	d	d_1	l	s
12	12,000	5,00	14,00	2,50



		ISO		P	M	K	N	S	H			r_ϵ	f_{min}	f_{max}	$a_{p min}$	$a_{p max}$
	LC 1220-RE	M4310	<input checked="" type="checkbox"/>			<input checked="" type="checkbox"/>					-	2,0	0,08	0,25	0,1	2,0
	LC 1230-RE	M4310	<input checked="" type="checkbox"/>			<input checked="" type="checkbox"/>					-	3,0	0,08	0,25	0,1	3,0

ISO	f_{\min}	f_{\max}	M4310	M8310	M8330	
P	●	0,05	0,30	280	329	296
		0,05	0,45			
		0,05	0,60			
	●	0,05	0,25	252	297	267
		0,05	0,40			
		0,05	0,55			
	✘	0,05	0,20	226	266	239
		0,05	0,35			
0,05		0,50				
K	●	0,05	0,30	264	311	280
		0,05	0,45			
		0,05	0,60			
	●	0,05	0,25	241	284	256
		0,05	0,40			
		0,05	0,55			
	✘	0,05	0,20	214	252	227
		0,05	0,35			
0,05		0,50				
H	●	0,05	0,30	52	63	57
		0,05	0,45			
		0,05	0,60			
	●	0,05	0,25	48	59	53
		0,05	0,40			
		0,05	0,55			
	✘	0,05	0,20	41	50	45
		0,05	0,30			
0,05		0,40				

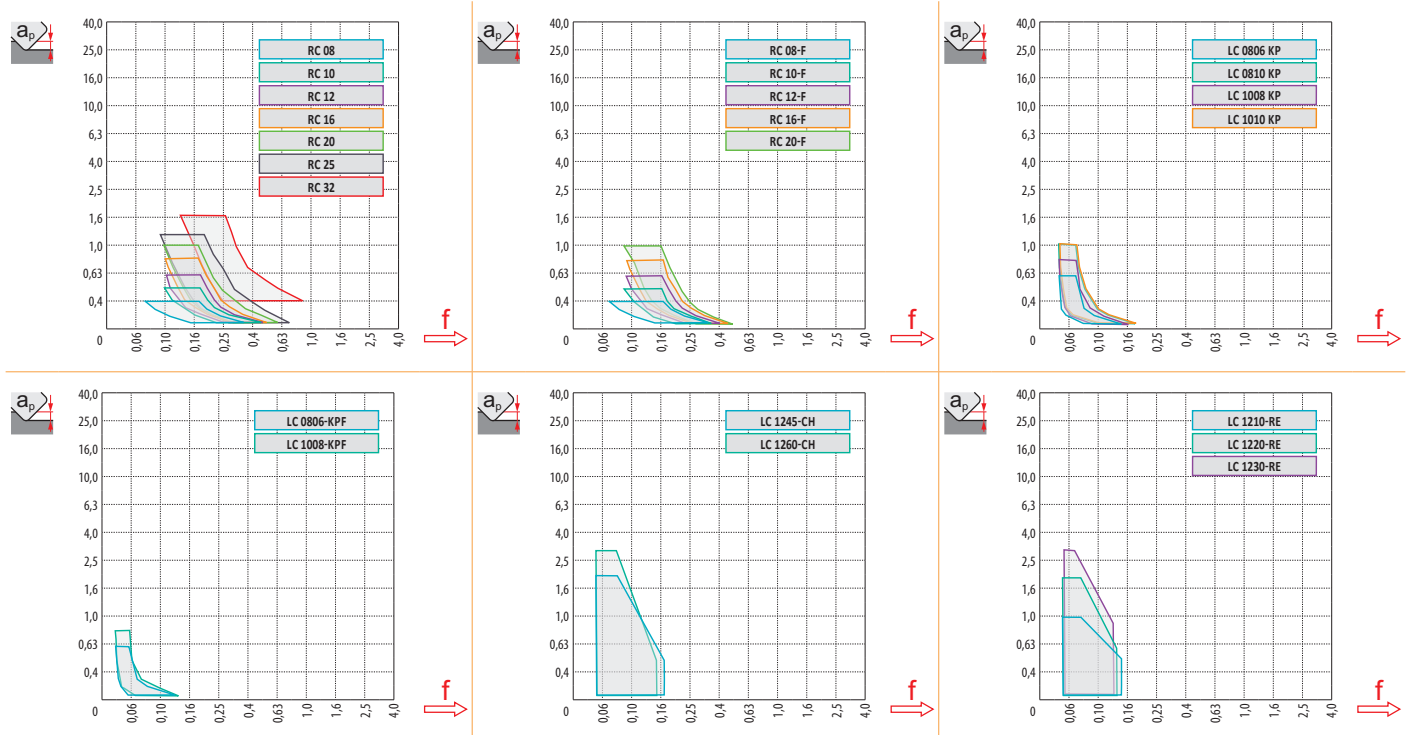


	RC 08	RC 10	RC 12	RC 16	RC 20	RC 25	RC 32
r_ϵ	4,0	5,0	6,0	8,0	10,0	12,5	16,0
a	-	-	-	-	-	-	-

	RC 08-F	RC 10-F	RC 12-F	RC 16-F	RC 20-F
r_ϵ	4,0	5,0	6,0	8,0	10,0
a	-	-	-	-	-

	LC 08-KP	LC 08-KP	LC 10-KP	LC 10-KP	LC 08-KPF	LC 10-KPF
r_ϵ	0,6	1,0	0,8	1,0	0,6	0,8
a	-	-	-	-	-	-

	LC 1245-CH	LC 1260-CH	LC 1210-RE	LC 1220-RE	LC 1230-RE
r_ϵ	3x45	5x60	1,0	2,0	3,0
a	-	-	-	-	-





		r_ϵ	0,00	0,30	0,40	0,50	0,60	0,70	0,80	0,90	1,00	1,25	1,50	2,00	2,50	3,00	4,00
LC 0806-KP		0,6	6,8	7,8	7,9	8,0	8,0	-	-	-	-	-	-	-	-	-	-
LC 0806-KPF	8	0,6	6,8	7,8	7,9	8,0	8,0	-	-	-	-	-	-	-	-	-	-
LC 0810-KP		1,0	6,0	7,4	7,6	7,7	7,8	7,9	8,0	8,0	8,0	-	-	-	-	-	-
LC 1008-KP		0,8	8,4	9,6	9,8	9,9	9,9	10,0	10,0	-	-	-	-	-	-	-	-
LC 1008-KPF	10	0,8	8,4	9,6	9,8	9,9	9,9	10,0	10,0	-	-	-	-	-	-	-	-
LC 1010-KP		1,0	8,0	9,4	9,6	9,7	9,8	9,9	10,0	10,0	10,0	-	-	-	-	-	-
LC 1245-CH		3x45	8,0	8,6	8,8	9,0	9,2	9,4	9,6	9,8	10,0	10,5	11,0	12,0	-	-	-
LC 1260-CH		5x60	9,7	10,0	10,2	10,3	10,4	10,5	10,6	10,7	10,8	11,1	11,4	12,0	-	-	-
LC 1210-RE	12	1,0	10,0	10,1	10,2	10,3	10,4	10,6	10,8	11,1	12,0	-	-	-	-	-	-
LC 1220-RE		2,0	8,0	8,0	8,1	8,1	8,2	8,3	8,3	8,4	8,5	8,9	9,4	12,0	-	-	-
LC 1230-RE		3,0	6,0	6,0	6,1	6,1	6,1	6,2	6,2	6,3	6,3	6,5	6,8	7,5	8,7	12,0	-



	μm	3	5	10	15	20	30	40	50	60	80	100
8		0,310	0,400	0,566	0,693	0,800	0,980	1,131	1,265	1,386	1,600	1,789
10		0,346	0,447	0,632	0,775	0,894	1,095	1,265	1,414	1,549	1,789	2,000

r_ϵ	μm	3	5	10	15	20	30	40	50	60	80	100
0,6		0,120	0,155	0,219	0,268	0,310	0,379	0,438	0,490	0,537	0,620	0,693
0,8		0,139	0,179	0,253	0,310	0,358	0,438	0,506	0,566	0,620	0,716	0,800
1,0		0,155	0,200	0,283	0,346	0,400	0,490	0,566	0,632	0,693	0,800	0,89



		r_ϵ	
LC 0806-KP		0,6	3,0
LC 0806-KPF	8	0,6	2,8
LC 0810-KP		1,0	3,0
LC 1008-KP		0,8	3,8
LC 1008-KPF	10	0,8	3,6
LC 1010-KP		1,0	3,8
LC 1245-CH		3x45	-
LC 1260-CH		5x60	-
LC 1210-RE	12	1,0	-
LC 1220-RE		2,0	-
LC 1230-RE		3,0	-



		r_ϵ	$\alpha_{\text{max}}^\circ$	a_p/l
LC 0806-KP		0,6	2,5	1,5/35
LC 0806-KPF	8	0,6	2,2	1,5/39
LC 0810-KP		1,0	2,4	1,5/36
LC 1008-KP		0,8	2,6	1,5/33
LC 1008-KPF	10	0,8	2,3	1,5/38
LC 1010-KP		1,0	2,6	1,5/33
LC 1245-CH		3x45	-	-
LC 1260-CH		5x60	-	-
LC 1210-RE	12	1,0	-	-
LC 1220-RE		2,0	-	-
LC 1230-RE		3,0	-	-



			d_{min}	d_{max}		
LC 0806-KP		0,6	9,8	15,9	0,8	1,0
LC 0806-KPF	8	0,6	10,2	15,9	0,1	0,1
LC 0810-KP		1,0	9,9	15,9	0,1	0,1
LC 1008-KP		0,8	12,2	19,9	0,9	1,1
LC 1008-KPF	10	0,8	12,6	19,9	0,2	0,2
LC 1010-KP		1,0	12,2	19,9	0,2	0,2
LC 1245-CH		3×45	-	-	-	-
LC 1260-CH		5×60	-	-	-	-
LC 1210-RE	12	1,0	-	-	-	-
LC 1220-RE		2,0	-	-	-	-
LC 1230-RE		3,0	-	-	-	-



LC 0806-KP		0,6	0,15
LC 0806-KPF	8	0,6	0,13
LC 0810-KP		1,0	0,13
LC 1008-KP		0,8	0,2
LC 1008-KPF	10	0,8	0,18
LC 1010-KP		1,0	0,19
LC 1245-CH		3×45	-
LC 1260-CH		5×60	-
LC 1210-RE	12	1,0	-
LC 1220-RE		2,0	-
LC 1230-RE		3,0	-



	Sražení Фаска Fazka Zrazenie	Koeficient pro rychlost Коэффициент коррекции скорости Współczynnik dla prędkości skrawania Koeficient pre rýchlosť	Posuv pro $a_{p max}$ Подача при $a_{p max}$ Posuw dla $a_{p max}$ Posuv pre $a_{p max}$
LC 1245-CH	3×45	1,26	0,21
LC 1260-CH	5×60	1,26	0,21

Vyložení (násobky průměru D)

Вылет по отношению к диаметру хвостовика (xD)

Wysięg (wielokrotność średnicy D)

Vyloženie (násobky priemeru D)

Násobný koeficient pro rychlost

Коэффициент коррекции скорости резания

Współczynnik dla prędkości skrawania

Násobný koeficient pre rýchlosť

<3 3 – 3,5 3,6 – 4 4,1 – 4,5 >4,6

1 0,9 0,8 0,7 0,5